

Г. Т. ИСПИРОВ, А. С. МАЗМАНИШВИЛИ, д-р физ.-мат. наук,  
А. И. ОСТРОВСКИЙ, Ю. А. ЧЕРЕВАНЬ, Н. И. БАБИНА

### К АНАЛИЗУ ПОТЕРЬ НА СТЫКАХ ОПТИЧЕСКИХ ОДНОМОДОВЫХ ВОЛОКОН

Интенсивное внедрение систем связи на одномодовых оптических волокнах сделало особенно актуальным вопрос о потерях в стыке одномодовых волокон. Величина таких потерь в значительной степени определяет технико-экономические показатели систем связи. Хотя этому вопросу посвящен ряд работ [1; 2], проблема еще не нашла своего решения. Серьезным затруднением явилось отсутствие общепризнанной номенклатуры параметров одномодовых оптических волокон (ООВ), неидентичность которых приводит к различным оценкам величины потерь. Так, согласно работе [1] не удается решить вопрос о величине погрешности в вычислении потерь, к которой приводит использованная модель гауссова пучка. Не удается также оценить вклад в величину потерь, обусловленных неидентичностью ООВ. В настоящей работе нами исследованы потери на стыках ООВ.

В уравнения распространения электромагнитного поля в ООВ входят такие параметры волокна, как радиус сердцевинки  $a$ , показатель преломления вещества сердцевинки  $n_1$  и оболочки  $n_2$  (что эквивалентно заданию числовой апертуры  $NA = \sqrt{n_1^2 - n_2^2}$ ) и функция профиля  $g(r/a)$ . Однако практическое применение этих величин для определения потерь затруднено, поскольку, во-первых, их измерение в готовых изделиях, как правило, достаточно сложно и, во-вторых, зависимость свойств ООВ и величины затухания мощности сигнала от  $a$ ,  $NA$ ,  $g$  имеют чрезвычайно громоздкий характер. Поскольку значительная часть мощности сигнала в ООВ переносится по оболочке, является естественным использование параметра, имеющего смысл «эффективного диаметра сердцевинки» [3].

Получил широкое распространение параметр «радиус поля моды» [1], что обусловлено возможностью описания так называемым гауссовым пучком, для которого распределение поля в поперечном сечении пропорционально  $\exp\left\{-\frac{2r^2}{w^2}\right\}$ . Вместе с тем, к настоящему времени отсутствует общепринятый критерий, позволяющий применить аппроксимацию поля в ООВ гауссовым пучком. Например, величина  $a$  может определяться из условия максимизации соответствующего интеграла перекрытия измеренного распределения с гауссовым, с другой стороны, радиус модового поля определяют по уменьшению интенсивности в  $e^2$  раз относительно ее максимального значения [4], что используется в отечественной практике.

Для определения потерь в стыке из-за неидентичности ООВ в качестве второго независимого параметра предлагается использовать длину волны отсечки второй моды  $\lambda_{отс}$ . Этот параметр существенен

для волокна. Кроме того, значение  $\lambda_{отс}$  не зависит от рабочей длины волны и связано с конструктивными параметрами соотношением

$$\lambda_{отс} = \frac{2\pi a NA}{V_0},$$

где  $V_0$  — приведенная частота отсечки, зависящая от функции профиля  $g$  (для ступенчатого профиля  $V_0 = 2,405$ ).

*Вывод уравнения для определения радиуса поля моды.* Согласно определению, данному в работе [4], радиус  $w$  поля моды находится из уравнения

$$I(r = w) = e^{-2} I(r = 0). \quad (1)$$

Здесь функция  $I(r)$  описывает распределение интенсивности по радиусу торца ООВ и в цилиндрических координатах  $(r, \theta, z)$  записывается следующим образом:

$$I(r) = \frac{1}{2} (E, H_{\theta}^* - E_{\theta} H_r^*).$$

Поперечные компоненты векторов  $\vec{E}$  и  $\vec{H}$  определяются из уравнений Максвелла, допускающих разделение переменных, если для компонент полей

$$\Phi_j(x, y, z, t) = \Phi_j(r) \exp(iv\theta + i\beta z - i\omega t),$$

где  $\Phi_j$  — компонента вектора  $\vec{E}$  или  $\vec{H}$ ;  $v$  — целое положительное число;  $\beta$  — постоянная распространения;  $\omega$  — угловая частота.

В случае ступенчатого распределения показателя преломления решение соответствующих уравнений хорошо известно (см., например, [5]). С учетом этих решений и (2) запишем уравнение (1) для определения радиуса поля моды:

$$K_0^2 \left( \frac{Ww}{a} \right) = \frac{W^2 n_1^2 K_1^2(W)}{e^2 (n_1^2 + n_2^2) u^2 J_1^2(u)},$$

где  $J_1$  — функция Бесселя 1-го рода;  $K_{0,1}$  — модифицированная функция Бесселя нулевого и первого порядков,

$$W = a \sqrt{\beta^2 - n_2^2 (2\pi/\lambda)^2};$$

$$u = a \sqrt{n_1^2 (2\pi/\lambda)^2 - \beta^2};$$

$\lambda$  — длина волны излучения.

*Численные результаты.* На рис. 1 представлена зависимость нормированного радиуса поля моды  $w/a$  от приведенной частоты  $V$ . Параметры расчета:  $\lambda = 1,3$  мкм;  $n_2 = 1, 4, 2$ ;  $n_1 = \sqrt{n_2^2 + NA^2}$ ; расчетная числовая апертура  $NA$  принимает значения 0,08—0,12 (0,01). Погрешность расчета не хуже  $10^{-3}$ . На рис. 1 кривая 1 отвечает решению уравнения (3), кривая 2 получена из работы [2], кривая 3 — из работы [1]. Аппроксимацией по методу Хука—Дживса [6] кривую 1 из рис. 1 можно приближенно представить следующей зависимостью:

$$\frac{w}{a} = -0,138V^{-2,700} + 0,497V^{-8,224} + 1,640V^{-2,441} + 0,891,$$

при этом для интервала  $1 < V < 2,4$  относительная погрешность аппроксимации не превысила 1 %.

**Вычисление потерь в стыке двух ООВ.** В общем случае в возбужденном ООВ мощность переносят две моды: четная  ${}_i H E_{11}$  и нечетная  ${}_o H E_{11}$ . Пренебрежем потерями на поглощение и обозначим мощность, переносимую четной и нечетной модами передающего ООВ, как  ${}_i P_1$  и  ${}_o P_1$ . Тогда  $P_1 = {}_i P_1 + {}_o P_1$  суть полная мощность. Аналогично  $P_2$ ,  ${}_i P_2$  и  ${}_o P_2$  являются полной мощностью четной и нечетной мод принимающего ООВ. Потери в стыке передающего и принимающего волокон принято вычислять по формуле  $N = -10 \lg (P_2/P_1)$ . Согласно работе [7]

$$\begin{aligned} {}_i P_i &= \frac{1}{2} |{}_i a_i|^2 \int_{S_i} ({}_i \vec{E}_i \times {}_i \vec{H}_i) \vec{z}_i dS_i; \\ {}_o P_i &= \frac{1}{2} |{}_o a_i|^2 \int_{S_i} ({}_o \vec{E}_i \times {}_o \vec{H}_i) \vec{z}_i dS_i, \end{aligned} \quad (5)$$

где  ${}_i a_i$  — амплитуда четной моды принимающего ( $i = 2$ ) или передающего ( $i = 1$ ) волокна;  ${}_o a_i$  — амплитуда нечетной моды;  $\vec{z}_i$  — ортвектор оси  $z$ , совпадающей с осью волокна.

Тогда формулу для определения величины потерь можно привести к виду

$$\begin{aligned} P_2 &= |{}_i a_2|^2 \int_{S_2} ({}_i \vec{E}_2 \times {}_i \vec{H}_2) \vec{z}_2 dS_2 + \\ &+ |{}_o a_2|^2 \int_{S_2} ({}_o \vec{E}_2 \times {}_o \vec{H}_2) \vec{z}_2 dS_2; \\ P_1 &= |{}_i a_1|^2 \int_{S_1} ({}_i \vec{E}_1 \times {}_i \vec{H}_1) \vec{z}_1 dS_1 + \\ &+ |{}_o a_1|^2 \int_{S_1} ({}_o \vec{E}_1 \times {}_o \vec{H}_1) \vec{z}_1 dS_1. \end{aligned} \quad (6)$$

Для случая, когда между стыкуемыми ООВ отсутствует зазор, имеем

$${}_i a_1 {}_i \vec{E}_{1t} + {}_o a_1 {}_o \vec{E}_{1t} = {}_i a_2 {}_i \vec{E}_{2t} + {}_o a_2 {}_o \vec{E}_{2t}, \quad (7)$$

где индекс  $t$  определяет поперечную составляющую вектора  $\vec{E}$ . Поэтому, используя условие ортогональности направляемых мод, можно получить следующие выражения для амплитуд четной и нечетной мод ( $i = 2$ ):

$${}_i a_2 = \frac{\int_{S_1} [({}_i a_1 {}_i \vec{E}_{1t} + {}_o a_1 {}_o \vec{E}_{1t}) \times {}_i \vec{H}_2^*] \vec{z}_2 dS_2}{\int_{S_2} ({}_i \vec{E}_2 \times {}_i \vec{H}_2) \vec{z}_2 dS_2};$$

$${}_{o}a_2 = \frac{\int_{S_1} [({}_{i}a_1 {}_{i}\vec{E}_{1t} + {}_{o}a_1 {}_{o}\vec{E}_{1t}) \times {}_{o}\vec{H}_2^*] \vec{z}_2 dS_2}{\int_{S_1} ({}_{o}\vec{E}_2 \times {}_{o}\vec{H}_2) \vec{z}_2 dS_2}.$$

Тогда для  $N$  получим

$$N = -10 \lg \left\{ \frac{B_{11}^2}{(A_{11} + A_{o1}) A_{12}} + \frac{B_{1o}^2}{(A_{11} + A_{o1}) A_{o2}} \right\};$$

$$B_{11} = \int_{S_2} [({}_{i}a_1 {}_{i}\vec{E}_{1t} + {}_{o}a_1 {}_{o}\vec{E}_{1t}) \times {}_{o}\vec{H}_2] \vec{z}_2 dS_2;$$

$$B_{1o} = \int_{S_1} [({}_{i}a_1 {}_{i}\vec{E}_{1t} + {}_{o}a_1 {}_{o}\vec{E}_{1t}) \times {}_{o}\vec{H}_2] \vec{z}_2 dS_2;$$

$$A_{11} = |{}_{i}a_1|^2 \int_{S_1} ({}_{i}\vec{E}_1 \times {}_{i}\vec{H}_1) \vec{z}_1 dS_1;$$

$$A_{o1} = |{}_{o}a_1|^2 \int_{S_1} ({}_{o}\vec{E}_1 \times {}_{o}\vec{H}_1) \vec{z}_1 dS_1;$$

$$A_{12} = |{}_{i}a_2|^2 \int_{S_2} ({}_{i}\vec{E}_2 \times {}_{i}\vec{H}_2) \vec{z}_2 dS_2;$$

$$A_{o2} = |{}_{o}a_2|^2 \int_{S_2} ({}_{o}\vec{E}_2 \times {}_{o}\vec{H}_2) \vec{z}_2 dS_2.$$

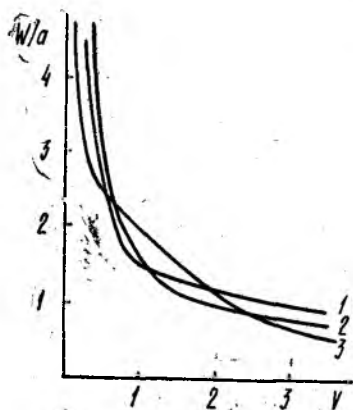


Рис. 1

Первое слагаемое в (8) под знаком логарифма определяет эффективность возбуждения модами передающего волокна четной моды принимающего, второе слагаемое — эффективность возбуждения нечетной моды. На основе (8) были выполнены численные расчеты. Принятая

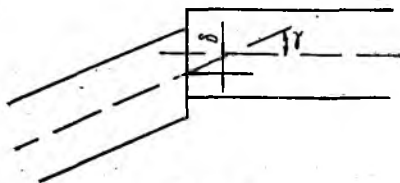


Рис. 2

модель представляла собой стык двух одномодовых волокон с круглыми сердцевинами и оболочкой. Зазор между волокнами отсутствовал. Оси сердцевины были смещены относительно друг друга на величину  $\delta$ , и между ними был задан угол рассогласования  $\gamma$  (рис. 2). В модели был также принят ступенчатый профиль показателя преломления, параметры  $\omega_1$  и  $\lambda_{отс1}$ ,  $\omega_2$  и  $\lambda_{отс2}$  соответственно. Для  $\vec{E}$  и  $\vec{H}$  в (8) использовались выражения из работы [7] как для точного расчета (модель А), так и для приближенного (приближение слабой волноводности — модель В).

Для практического использования полученных результатов оказалась удобной следующая простая формула:

$$N = C_1 \left( \frac{\delta}{w_H} \right)^2 + C_2 \left( \frac{\gamma w_{cp}}{\lambda_{отс}} \right)^2 + C_3 \left( \frac{\Delta w}{w_H} \right)^2 + C_4 \left( \frac{\Delta \lambda_{отс}}{\lambda_{отс, H}} \right)^2 + C_5 \left( \frac{\Delta \lambda_{отс} \Delta w}{\lambda_{отс, H} w_H} \right)^2, \quad (9)$$

где  $w_H = 5$  мкм — значение номинального радиуса поля моды;  $\lambda_{отс, H} = 1,2$  мкм — значение номинальной длины волны отсечки второй моды  $\Delta \lambda_{отс} = \lambda_{отс1} - \lambda_{отс2}$ ;  $\Delta w = w_1 - w_2$ .

Константа: тип модели	$C_1$	$C_2$	$C_3$	$C_4$	$C_5$
A	4,50	74,9	2,70	2,16	-2,46
B	4,46	75,4	2,70	2,11	-2,43
C	4,36	86,3	3,30	—	—

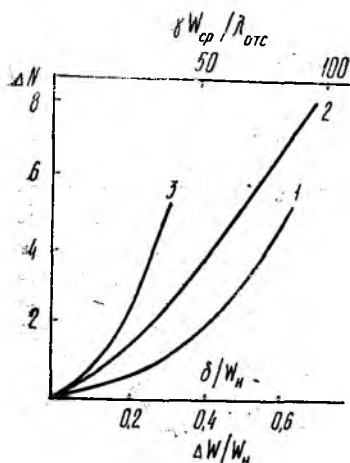


Рис. 3

2 — от  $\gamma w_{cp} / \lambda_{отс}$ ; 3 — от  $\Delta w / w_H$  (см. формулу (9)).

Из полученных результатов можно сделать вывод, что в качестве основных факторов, определяющих потери в стыке ООВ, допустимо рассматривать: поперечный сдвиг волокон  $\delta$ , их угловое рассогласование  $\gamma$ , а также неидентичность световодов, определяемую различием радиусов поля моды и длины волны отсечки  $\lambda_{отс}$ . Для вычисления величины потерь в стыке можно использовать модель слабонаправляющих световодов, практически не уступающую точной векторной модели. При определении потерь, связанных с первыми двумя факторами, допустимо применение модели гауссового пучка. Однако она не позволяет правильно учесть потери от неидентичности световодов с фиксированными радиусами поля моды. Для практически наиболее важного диапазона потери в стыке с удовлетворительной точностью выражаются простой формулой (9).

- Список литературы:** 1. Marcuse D. BSTJ. 1977. Vol. 56, N 5. P. 703—718.  
 2. Gambling W. A., Holsinger H. // Optical and Quantum Electronics. 1978. Vol. 10. P. 31—40. 3. Унгер Х.-Г. Планарные и волоконные волноводы. М., 1980. 648 с. 4. Кабели оптические одномодовые. Технические условия. ТУ16—К71—018—88. 1988. 15 с. 5. Адамс М. Введение в теорию оптических волноводов. М., 1984. 512 с. 6. Банди Б. Методы оптимизации. М., 1988. 128 с. 7. Снайдер А., Лав Дж. Теория оптических волокон. М., 1987. 656 с.

Поступила в редколлегию 27.11.89

УДК 621.373.826

**И. А. СУХОИВАНОВ**, канд. техн. наук, **И. В. ЩЕРБАТКО**

### **ПОВЫШЕНИЕ ЭФФЕКТИВНОСТИ ПЕРЕДАЧИ СВЧ-ПОДНЕСУЩЕЙ ПО ВОЛОКОННО-ОПТИЧЕСКОЙ ЛИНИИ**

Волоконно-оптические линии передачи СВЧ-поднесущей (в дальнейшем — ВОЛП СВЧ) по ряду параметров конкурируют с традиционными системами передачи таких сигналов на основе коаксиальных и волноводных трактов. Однако большим недостатком ВОЛП является невысокий коэффициент передачи СВЧ мощности от передатчика к приемнику. Одним из радикальных способов повышения этого параметра является улучшение согласования СВЧ линии с передающим модулем ВОЛП.

Цель работы — исследование влияния модулирующей мощности на эффективность сопряжения СВЧ тракта и ВОЛП. Активная составляющая импеданса лазерного диода (ЛД) лежит в пределах 3—20 Ом, кроме того, на СВЧ лазер обладает значительной реактивностью. Это приводит к необходимости создания специальных схем сопряжения СВЧ линий с лазерными излучателями. Схемы согласования строят либо в виде резонансных цепей, либо в виде трансформаторов сопротивлений.

Простейший вид согласования — включение резистора в СВЧ цепь последовательно с ЛД. Недостатком такого согласования является низкий КПД использования СВЧ мощности.

На рис. 1, а представлена эквивалентная схема ЛД на высоких частотах [1]. Здесь приняты следующие обозначения:  $R_0$  — сопротивление подводящих проводников и материала диода;  $C_{cs}$  — зарядовая емкость;  $C_d$  — диффузионная емкость активного слоя. Динамические характеристики ЛД описываются системой дифференциальных уравнений:

$$\frac{dN}{dt} = -\frac{C_{cs} dV}{\alpha dt} + \frac{I}{\alpha} - \frac{N}{\tau} - GS; \quad (1)$$

$$\frac{dS}{dt} = GS - \frac{S}{\tau_w} + \beta \frac{N}{\tau}, \quad (2)$$

где  $V$  — напряжение на  $p$ - $n$ -переходе;  $I$  — плотность инжектируемого тока;  $\beta$  — коэффициент вклада от спонтанного излучения в моду;  $\tau$  — время жизни носителей тока;  $\alpha = qd$ ,  $q$  — заряд электрона,  $d$  —